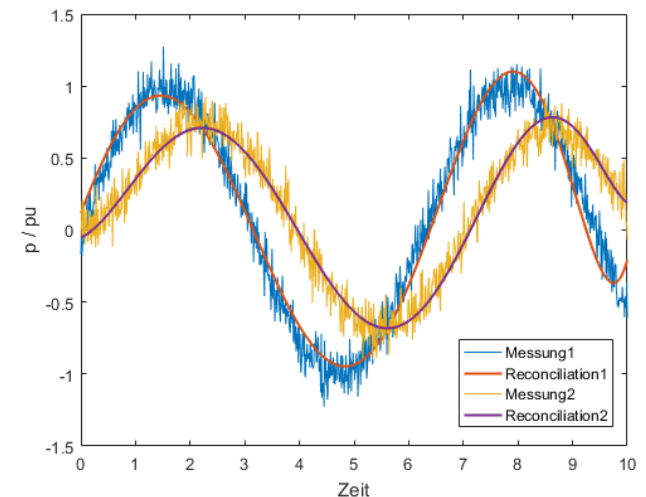
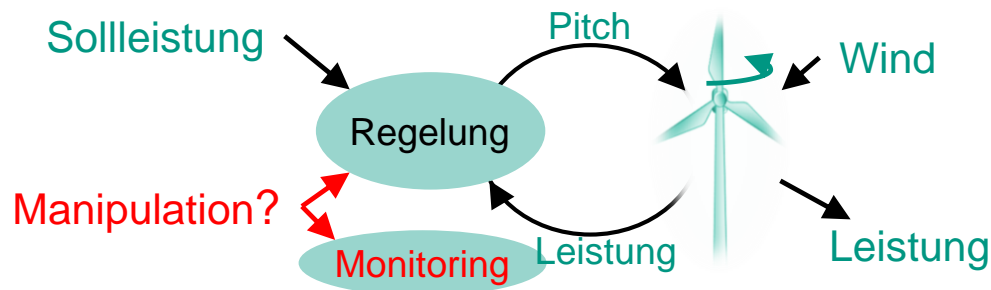


IT-Sicherheit für die vernetzten cyber-physikalischen Komponenten zukünftiger Energiesysteme

Kathrin Reibelt

Institut für Angewandte Informatik (IAI), Gruppe ProSys



Motivation - Energiewende

Wenige große, zentrale Kraftwerke
⇒ Steuerung vor Ort

Kontinuierliche Verfügbarkeit
⇒ Statisches Stromnetz

Viele kleine, verteilte Kraftwerke
⇒ Remotesteuerung

Stark schwankende Verfügbarkeit
⇒ Flexible Netzstruktur
mit steuerbaren Elementen wie
Transformatoren, Umformer usw.

Sicherheit,
auch für informationstechnische
Komponenten,
basierend auf physischen
Zugriffsbeschränkungen

Gefährdung
durch Steuerung über unsichere
Netzwerke mit zahlreichen
Zugriffspunkten
**Unabhängiger informations-
technischer Schutz erforderlich!**

Mögliche Ziele von IT-Manipulationen

Drosselung der Anlage

EEG §9:

- (1) Anlagenbetreiber und Betreiber von KWK-Anlagen müssen ihre Anlagen mit einer installierten Leistung von mehr als 100 Kilowatt (*30 KW bei Solaranlagen*) mit technischen Einrichtungen ausstatten, mit denen der Netzbetreiber jederzeit
1. die Einspeiseleistung bei Netzüberlastung ferngesteuert reduzieren kann und
 2. die Ist-Einspeisung abrufen kann

Thermische Belastungen

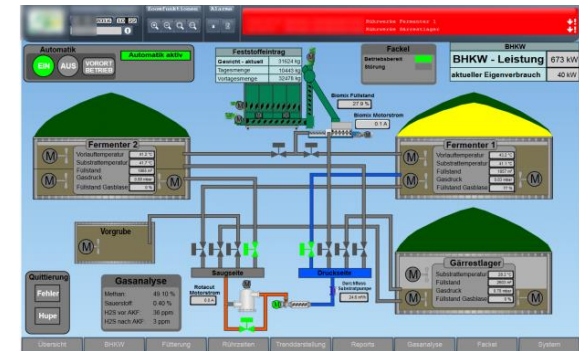


Kieler Nachrichten 2017



Neue Presse 2010

Fehlverhalten der internen Regelkreise



Golem.de 2016

Ansprechen der Anlagensicherung

U	+10%	-25%	0,1 s
ΔU	+5,5%	-5,5%	0,2 s
I	+10%		0,2 s
I	+900%		0 s
ΔI	+44%	-44%	0,2 s
$W_{\text{Generator}}$	+2,5%	-2,5%	5 s

simulink

Mechanische Belastungen



spiegel.de 2017

Sicherheitsmaßnahmen in Anlagen

- Intervalle für sicheren Betrieb Kraftwerke
 - Vergleich der Messwerte mit vordefinierten Intervallen

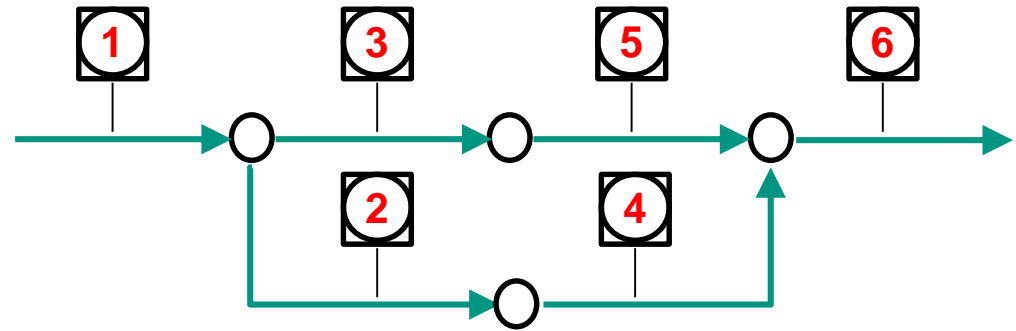
- Redundante Messungen Kernkraftwerke

- Parallele Simulation Produktionsanlagen
 - Vergleich der Messwerte mit den Ergebnissen der Simulation
 - Vergleich der Abweichungen mit Mustern bekannter Fehler

- Data Reconciliation Chemieanlagen
 - Reduzierung der statistischen Sensorfehler
 - Berechnung nicht direkt gemessener Größen
 - Detektion von Sensorausfällen
 - Weiterentwicklung für Energiesysteme

Data Reconciliation: Verbesserung der Daten

- einfaches Beispiel:
Kühlkreislauf



- Modell aus Zusammenhängen

$$A\vec{y} = \vec{0} \quad \vec{y} = \begin{bmatrix} F_1 \\ \vdots \\ F_6 \end{bmatrix}$$

$$A = \begin{bmatrix} 1 & -1 & -1 & 0 & 0 & 0 \\ 0 & 1 & 0 & -1 & 0 & 0 \\ 0 & 0 & 1 & 0 & -1 & 0 \\ 0 & 0 & 0 & 1 & 1 & -1 \end{bmatrix}$$

- Wert mit der größten Wahrscheinlichkeit:

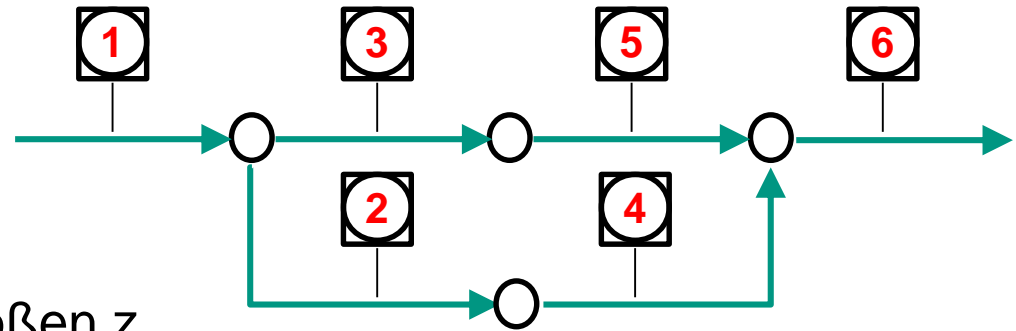
$$\hat{\vec{y}} = \left(\mathbf{1} - VA^T(AVA^T)^{-1}A \right) \vec{y}$$

$$V = \begin{pmatrix} \sigma_1^2 & 0 & 0 \\ 0 & \sigma_2^2 & 0 \\ 0 & 0 & \ddots \end{pmatrix}$$

(Berechnung über Lagrange-Variation)

Data Reconciliation: Berechnung von Größen

- einfaches Beispiel:
Kühlkreislauf



- nicht direkt gemessene Größen z ,

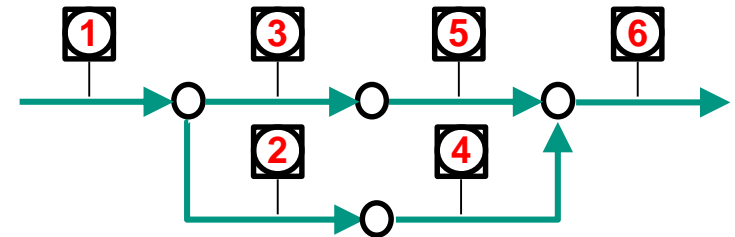
$$A_y \vec{y} + A_z \vec{z} = \vec{0} \quad \vec{z} = P \vec{y}$$

Beispiel **2**, **4**, **6** ungemessen

$$A_y = \begin{bmatrix} 1 & -1 & 0 \\ 0 & 0 & 0 \\ 0 & 1 & -1 \\ 0 & 0 & 1 \end{bmatrix} \quad A_z = \begin{bmatrix} -1 & 0 & 0 \\ 1 & -1 & 0 \\ 0 & 0 & 0 \\ 0 & 1 & -1 \end{bmatrix} \quad \Rightarrow \quad P = \begin{bmatrix} 1 & -0.5 & -0.5 \\ 1 & -0.5 & -0.5 \\ 1 & 0 & 0 \end{bmatrix}$$

Modellanalyse: Redundanz

- ist das System vollständig definiert?
- welche Größen sind beobachtbar?
- welche Größen werden redundant gemessen?
- welche Erweiterungen würden Sinn machen?



-1: nicht beobachtbar
 0: beobachtbar
 >0: redundant gemessen

gemessen: 1, 3, 5

0	0	1	0	1	0
---	---	---	---	---	---

gemessen : 2, 4

-1	1	-1	1	-1	-1
----	---	----	---	----	----

gemessen : 1, 2, 3, 5, 6

4	4	4	0	4	4
---	---	---	---	---	---

gemessen : 2

-1	0	-1	0	-1	-1
----	---	----	---	----	----

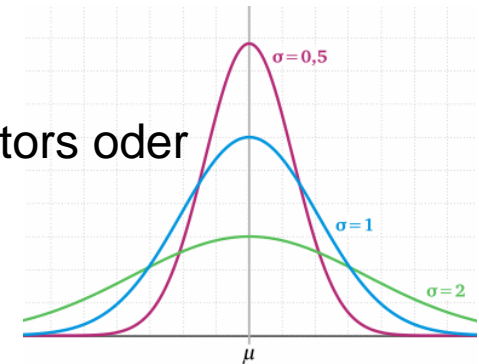
Fehlerdetektion

- Analyse der Verteilung der beobachteten Abweichungen

- Differenz zwischen Messung und reconciliertem Wert
geteilt durch die Verteilung des einzelnen Sensors/Aktors oder

- Differenz geteilt durch Varianz
(einzelne Größen oder Summe) oder

- Residuen der Terme $A\vec{y} \neq \vec{0}$



- Hypothesentest

- kein Fehler

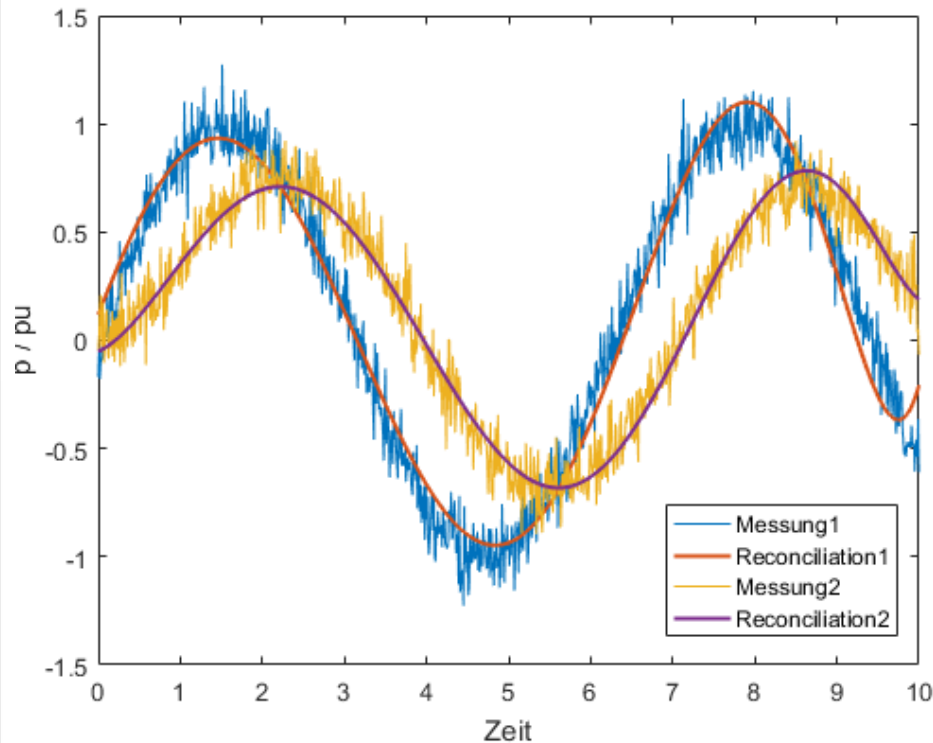
$$H_0: \langle \vec{r}(t) \rangle = 0$$

- Fehler / Manipulation des Sensors / Aktors i

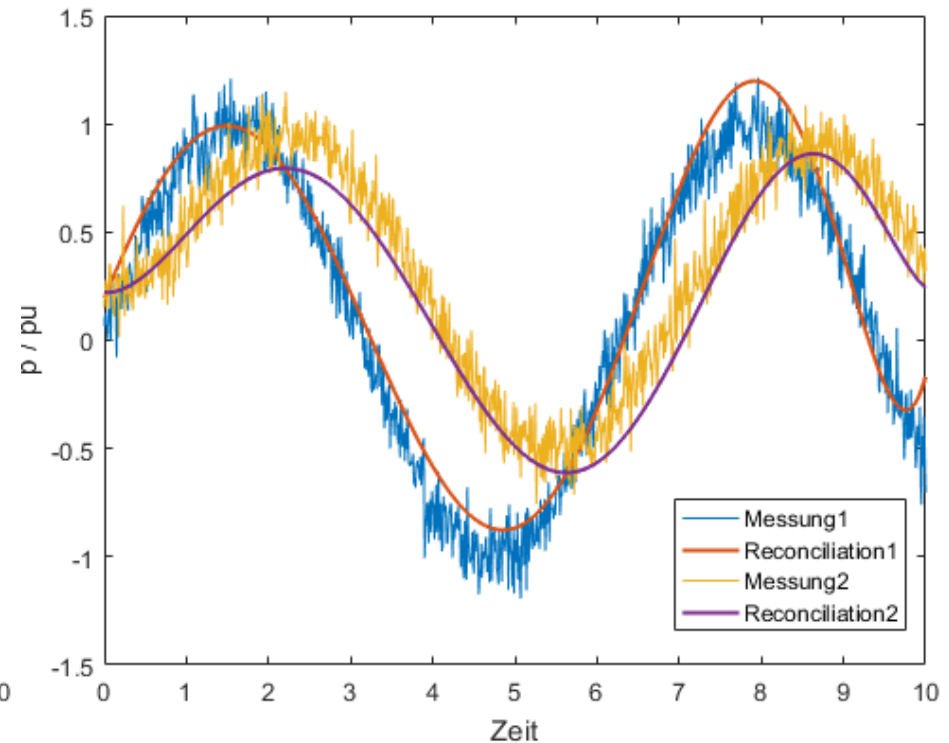
$$H_1^i: \langle \vec{r}(t) \rangle = b\vec{f}_i$$

Beispiel Data Reconciliation

■ Ohne Fehler



■ Offset in Messung 2
Verschiebung auch bei 1



Mehrfachfehlerdetektion

■ Hypothesentests für Fehlerkombinationen

- $H_1^{i_1, i_2, \dots, i_k}: \langle \vec{r}(t) \rangle = b_1 \vec{f}_{i_1} + b_2 \vec{f}_{i_2} + \dots + b_k \vec{f}_{i_k} = F_k \vec{b}$

■ Sequentielle Methoden

Die einfache Fehlerdetektion wird mehrfach angewendet

- verdächtige Messung wird eliminiert (nicht berücksichtigt)
- wahrscheinlichster Wert für die Abweichung wird berechnet und der Messwert angepasst

Erweiterung der Fehlerdetektionsmethoden für die Detektion von IT-basierten Manipulationen

■ Zusatzinformationen zu den Parametern

- Exposition (Zugänglichkeit für Manipulationen)
- Gemeinsamkeiten / Diversität
- Kritikalität
- Bedeutung

■ Anwendung

- Analyse der Sicherheit und Resilienz des Systems
- Schnelle Manipulationsdetektion durch sinnvolle Vorhersagen
- Identifikation der korrumpierten Bestandteile / des Angriffswegs
- Bewertung der Zuverlässigkeit der Kenntnis des Systemzustands
- Auswahl sicherer Gegenmaßnahmen

Zusammenfassung

- Standardmaßnahmen der IT-Security sind nicht ausreichend
- Idee: Verwendung zusätzlicher Information über die physikalischen Vorgänge zur Manipulationsdetektion → Modellbasierte Ansätze
- Data Reconciliation und Fehlerdetektion
- Erweiterung für die Detektion von IT-Manipulationen

Ausblick

- Anwendung auf reale Energiesystemkomponenten
- Identifikation und Integration sinnvoller Zusatzinformationen